

§5 Flows over time / Dynamische Flüsse

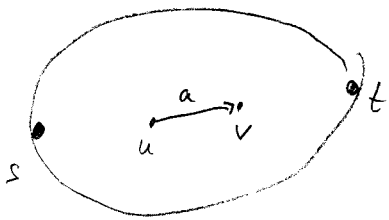
bisher: Rush Hour = statischer Fluss

dh. in einem Zeitraum auf ganzem Weg  $P$   
 konstante Flussrate  $f_P$

Modell nicht mehr zureichend anlässlich der Rush Hour.

=> müssen zeitliches Verhalten des Flusses mit modellieren  
 wichtig auch für logistische Anwendungen

5.1 Maximale  $s, t$  Flüsse bei konstanten Fahrzeiten



Kante  $a$  hat Kapazität  $u_a \in \mathbb{N}$

Zeit  $\tau_a \in \mathbb{N}$

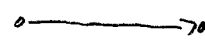
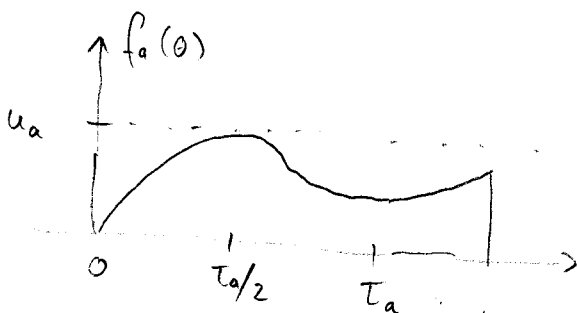
↑ benötigt zum Durchqueren der Kante

zusätzlich Zeithorizont  $T$  gegeben

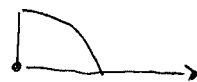
Dynamischer Fluss  $f$  mit Zeithorizont  $T$

= Funktionen  $f_a : [0, T] \rightarrow \mathbb{R}_+^1$  für alle Kante  $a \in A$

$f_a(\theta)$  = Flussrate in Kante  $a$  zum Zeitpunkt  $\theta$



$\theta = 0$



$\theta = \frac{\tau_a}{2}$



$\theta = \tau_a$

"umgekehrtes Bild"



## Maximales dynamisches $s, t$ -Fluss Problem

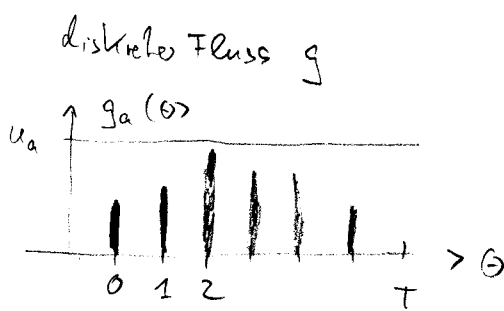
Gegeben: Digraph  $G = (V, A)$ ,  $s, t \in V$ ,  $u_a, \tau_a, T$

Gesucht: dynamischer  $s, t$ -Fluss  $f$  Zeithorizont  $T$  und  
maximalem Flusswert value ( $f$ )

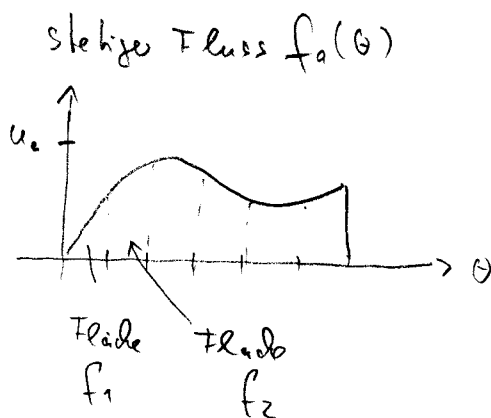
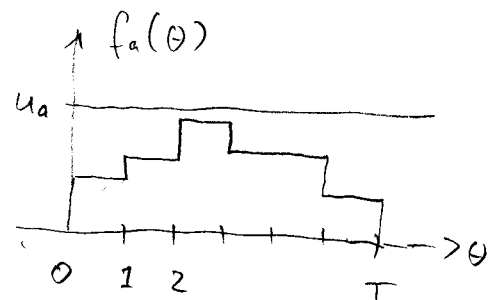
Diskrete versus stetige Zeit:

bisherige Definition nutzt stetige Zeit

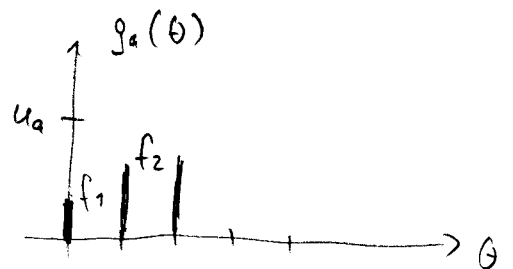
diskrete Zeit  $\hat{=}$  sende Fluss nur in Zeitpkt.  $0, 1, 2, \dots$



Transformation  
→  
in stetigen  
Fluss



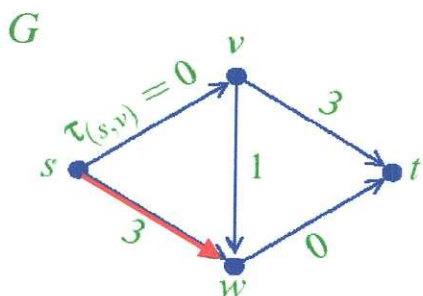
Transformation  
→  
in diskrete  
Fluss



Beobachtung: Bei hinreichend feiner Diskretisierung der Zeit kann jeder diskrete dynamische Fluss als stetiger dynamischer Fluss interpretiert werden und umgekehrt (genau bis auf beliebig kleinen Approximationsfehler bei "vernünftigen"  $f_a$ )

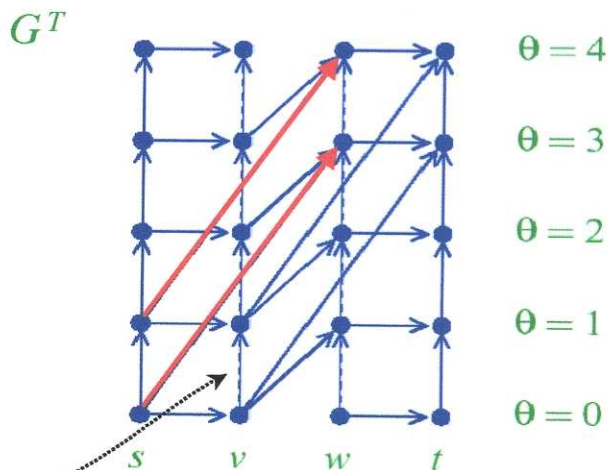
# Time expanded networks

**Observation.** Discrete flows over time in  $G$  correspond to static flows in **time-expanded** networks  $G^T$  (for constant  $\tau_a$ )



Example:  $T = 5$ .

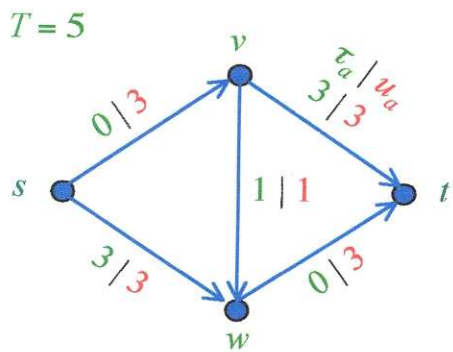
waiting in a node



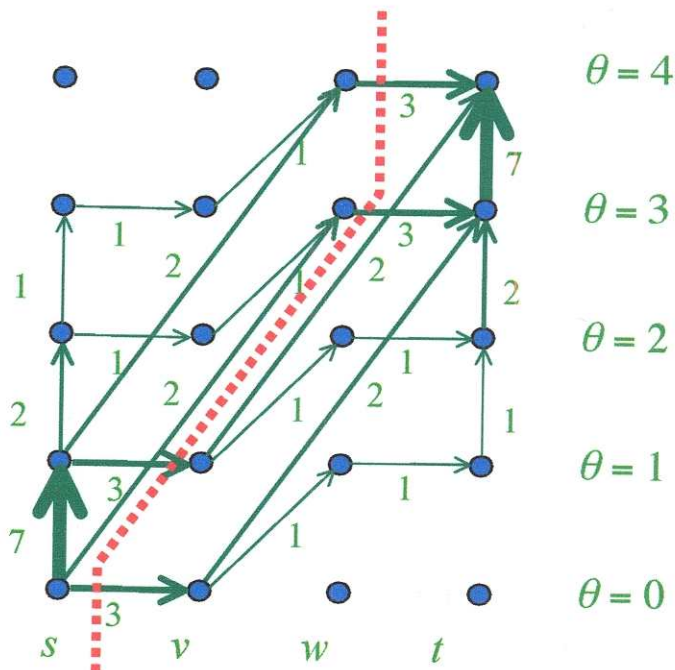
Kopie von  $G$  für jede Zeitstufe

Kanten zwischen verschiedenen Zeitstufen entsprechend  $\tau_a$

## A static flow in the time expanded network



$|f| = 12$



Vorteil diskreter dynamischer Flüsse: Beschreibung über  
 verexpandierete Netze möglich

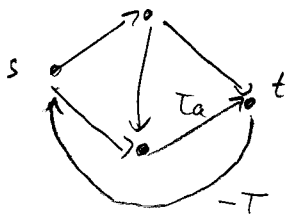
↓

- max  $s,t$ -dynamischer Fluss mit Zeithorizont  $T$   
 $\hat{=}$  max  $s,t$ -statischer Fluss in  $G^T$
- statische Flusstheorie im Prinzip anwendbar (z.B. max Fluss - min Cut)
- ABER  $G^T$  riesig bei feiner Zeitskala  
 in  $G^T$  polynomielle Algorithmen sind bzgl  $G$   
 nur pseudopolynomiell

Der Algorithmus von Ford-Fulkerson für max dyn.  $s,t$ -Flüsse [1958]

Große Idee:

- 1) Berechne statischen min-cost Fluss  $x$  in  $G+(t,s) =: \bar{G}$



$$\text{d.h. Zielfkt } \sum_{a \in A} c_a x_a - T \cdot \text{value}(x)$$

$$\hat{=} \text{min-cost Zirkulation, da alle Balancen } b(v) = 0$$

[ geht in polynomielle Zeit mit Methoden aus ADMM I ]

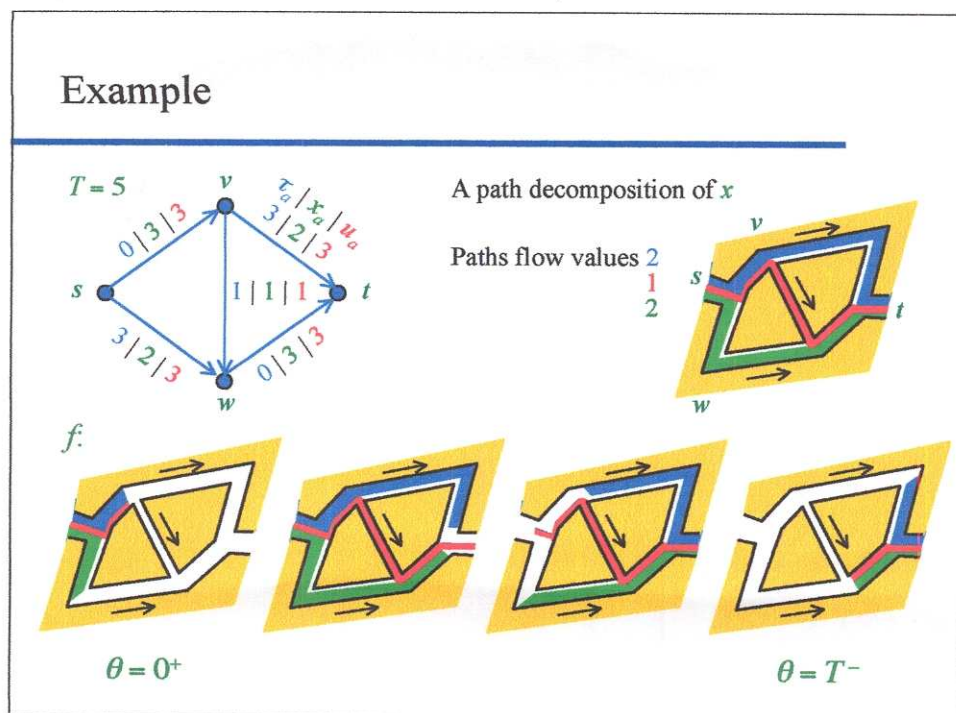
- 2) Wähle beliebige Pfaddekomposition  $x_p$ ,  $p \in P$  (= Menge der  $s,t$  Pfade)  
 von  $x$  bzgl.  $\bar{G}$

[ Standardzerlegung aus ADMM I von  $x$  in  $G+(t,s)$

existiert gerichtete Kreise, nehme nur die, die  $(t,s)$  enthalten,

dies definiert  $s,t$  Wege; möglich in polynomieller Zeit, ADMM I ]

- 3) Nutze die Pfade im Konstruktion eines zeitlich wiederholten Flusses  $f$   
 $f$  sendet Fluss mit der konstanten Rate  $x_p$  entlang  $P$   
 im gesamten Intervall  $[0, T - \tau_p]$   
 ↑  
 letztes Zeitpunkt zum Senden bei  $s$ ,  
 so dass Fluss spätestens zur Zeit  $T$   
 in Senke  $t$  ankommt



- 4) Dies ergibt einen dynamischen  $s,t$ -Fluss  $f$  und Zeithorizont  $T$   
 Die Flussraten  $f_a : [0, T] \rightarrow \mathbb{R}$  ergeben sich polynomial  
 aus den maximal  $m$  Wegraten  $f_p$  und Zeiten  $\tau_a$   
 Jede Flussrate ist eine stückweise konstante Fkt mit  
 maximal  $m$  Sprüngen  
 $\Rightarrow$  alle Flussraten haben Oubpaßgröße polynomial (werden  
 in der Inputgröße und können in poly. Zeit konstruiert)

### Zulässigkeit des zeitlich wiederholten Flusses $f$

- Flussenerhaltung trivial.,  $f$  erfüllt sie mit "=",  
d.h. keine Speicherung von Flüssen in Knoten.
- Kapazitätsenerhaltung:  

$$f_a(t) \leq \sum_{P: a \in P} x_p = x_a \leq u_a$$
- Nach Zeit  $T$  ist das Netzwerk leer, da auf  $P$  der letzte Fluss zur Zeit  $T - \tau_p$  geschickt wird

### Wert des zeitlich wiederholten Flusses $f$

$$\begin{aligned}
 \text{value}(f) &= \sum_{P \in \mathcal{P}} (T - \tau_p) x_p = T \sum_{P \in \mathcal{P}} x_p - \sum_{P \in \mathcal{P}} \tau_p x_p \\
 &= T \cdot \text{value}(x) - \sum_{P \in \mathcal{P}} \left( \sum_{a \in P} \tau_a \right) x_p \\
 &= T \cdot \text{value}(x) - \sum_{a \in A} \left( \sum_{P \ni a} x_p \right) \tau_a \\
 &= T \cdot \text{value}(x) - \sum_{a \in A} x_a \cdot \tau_a \\
 &= \text{negative der Zielfunktion} \quad \sum_{a \in A} \tau_a x_a - T \cdot \text{value}(x)
 \end{aligned}$$

für das min-cost-Zirkulationsproblem

=>  $f$  maximiert den Flusswert über alle zeitlich wiederholten dynamischen s,t-Flüsse mit Zeithorizont  $T$

Insbesondere ist  $\tau_p \leq T \quad \forall P$

Optimalität:

Unkt max-flow min-cut auch im dynamischen Fall

Def: dynamischer s,t-Schnitt mit Zeithorizont T

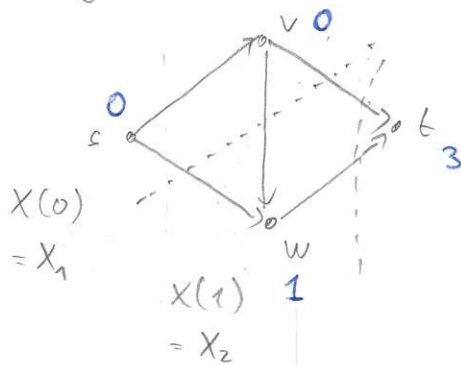
ist gegeben durch Werte  $\pi(v) \in [0, \infty[$  für  $v \in V$  mit  $\pi(s) = 0, \pi(t) \geq T$ .

Diese Werte definieren eine aufsteigende Folge  $\mathcal{C}$  von Mengen

$$S(\theta) := \{v \in V \mid \pi(v) \leq \theta\}$$

so dass für  $\theta \in [0, T[$   $X(\theta), V - X(\theta)$  einen s,t Schnitt definiert

Die Folge hat unendlich viele verschiedene Mengen  $X_1 \subset X_2 \subset \dots \subset X_k$



$$\begin{aligned} \pi(s) &= 0 \\ \pi(v) &= 0 \\ \pi(w) &= 1 \\ \pi(t) &= 3 = T \end{aligned}$$

Die Kapazität eines solchen Schnittes  $\mathcal{C}$  ist definiert als

$$cap(\mathcal{C}) := \sum_{\substack{a \in A \\ a = (v,w)}} \max \{ \pi(w) - \pi(v) - \tau_a, 0 \} \cdot u_a$$

Zeit, die  
a im dyn.  
Schnitt ist

Schranke  
für die  
Flussrate

maximale Zeitpunkte  
mit der Fluss aus  
Kante a raus fließen

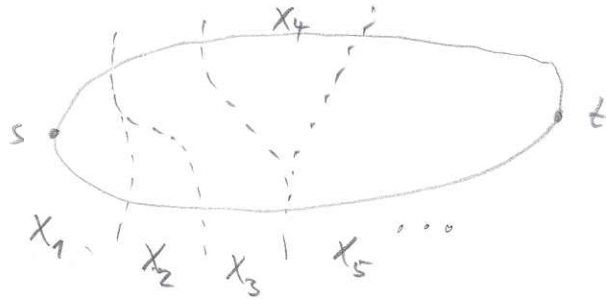
könnte, während a im Schnitt ist



5.1 LEMMA. Für jeden dyn.  $s,t$ -Fluss  $f$  und jeden dyn.  $s,t$ -Schnitt  $e$  zum selben Zeitintervall  $T$  gilt

$$\text{value}(f) \leq \text{cap}(e)$$

Beweis: Betrachte die Folge der Schnitte  $X_1, X_2, \dots, X_k$  zu  $e$



Jeder Schnitt  $X_i$  erzeugt Kantenmenge  $S^+(X_i)$  (Kanten raus aus  $X_i$ )

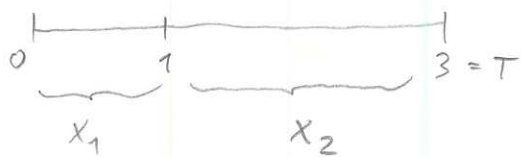
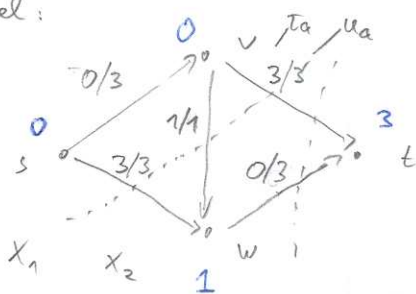
Das Zeitintervall  $[0, T[$  wird durch die "Gießkannen" der Schnitte überdeckt



d.h.  $\theta_i = \max \{ \pi(v) \mid v \in X_i \}$

$$\begin{aligned} \Rightarrow \text{value}(f) &\leq \sum_i \text{Flussmenge über Kanten } S^+(X_i), \text{ die im} \\ &\quad \text{Zeitintervall } [\theta_i, \theta_{i+1}] \text{ fließen kann} \\ &\leq \sum_{\substack{a \in A \\ a = (v,w)}} \max \{ \pi(w) - \pi(v) - \tau_a, 0 \} \cdot u_a = \text{cap}(e) \quad \square \end{aligned}$$

Beispiel:



maximal 0  
 (v,w)  
 maximal 2 Zeiteinheiten  
 a 3 Flusseinheiten über (w,t)  
 = 6

$\text{cap}(P): (s,v)$	$\rightarrow \pi(v) - \pi(s) - \tau_a = 0 - 0 - 0$	$\rightarrow$ kein Beitrag
$(s,w)$	$\rightarrow 1 - 0 - 3$	$\rightarrow$ kein Beitrag
$(v,w)$	$\rightarrow 1 - 0 - 1$	$\rightarrow$ kein Beitrag
$(v,t)$	$\rightarrow 3 - 0 - 3$	$\rightarrow$ kein Beitrag
$(w,t)$	$\rightarrow 3 - 1 - 0$	$\rightarrow 2 \cdot 3 = 6$

zum Beweis der Optimalität des zeitl. wiederholten Flusses  $f$   
 konstruiert man aus  $f$  einen dynamischen s,t Schnitt  $P$   
 mit  $\text{value}(f) = \text{cap}(P)$

Konstruktion des Schnittes aus Fluss  $f$

Setze  $\pi(v) :=$  Länge eines kürzesten Weges von  $s$  nach  $v$  im  
 Residualgraph  $(G+(f,s))_x = \bar{G}_x$  bzgl. Kosten  $\tau_a$

definiert dynamischen s,t-Schnitt  $P$  da

$\pi(s) = 0$  ( $\bar{G}_x$  enthält keinen negativen Zykel)

$\pi(t) \geq T$  (sonst gibt es in  $G_x$  einen s,t Weg  
 mit Länge  $< T$ )

$\Rightarrow \bar{G}_x$  hat negativen Zykel

Widerspruch, da  $x$  kosten-minimal)

Beachte: Da Kante  $(s,t) \in \bar{G}_x$  folgt  $\boxed{\pi(t) = T}$

Beweis: value( $f$ ) =  $\text{cap}(P)$

Betrachte Kante  $a = (v,w)$

Claim 1 :  $\overline{[\pi(v), \pi(w) - \tau_a]} \neq \emptyset$   
 $\Rightarrow x_a = u_a, f_a(\theta) = u_a \quad \forall \theta \in [\pi(v), \pi(w) - \tau_a]$

Beweis: a) Annahme  $x_a < u_a$

$\Rightarrow (v, w) \in \bar{G}_x \quad \Rightarrow \pi(w) \leq \pi(v) + \tau_a \quad \Rightarrow$  Intervall ist leer  
 Widerspruch  
 $\uparrow$   
 kürzeste Weglängen

b) Annahme:  $\exists \theta \in [\pi(v), \pi(w) - \tau_a[$  mit  $f_a(\theta) < u_a (= x_a)$

$\Rightarrow \exists$  Weg  $P_0$  in Pfadzerlegung  $x$  mit  $a \in P_0$  und

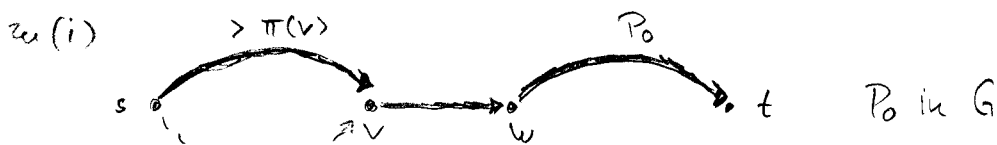
(i) der erste Fluss entlang  $P_0$  kommt in  $v$  nach Zeit  $\pi(v)$  an  
 (wenn auf allen Wegen durch  $a$  der Fluss in  $v$  bereits zu  $\pi(v)$  ankommt, gilt  $f_a(\pi(v)) = \sum_{P \ni a} x_p = x_a = u_a$ )

oder

(ii) der letzte Fluss durch  $P_0$  verlässt  $w$  vor  $\pi(w)$

(sonst  $f_a(\pi(w)) = \sum_{P \ni a} x_p = x_a = u_a$ )

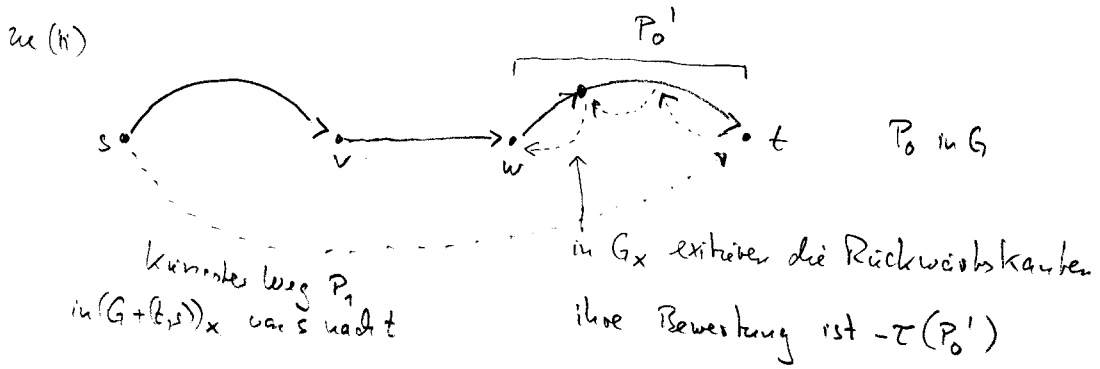
Da  $f$  zeitlich wiederholt, muss (i) oder (ii) gelten



$\uparrow$  Weg im Residualgraph  $G_x$  mit Länge  $\pi(v)$ , existiert nach Def  $\pi(v)$   
 unter diesem Weg zum Ursprung von Fluss von  $P_0$

$\Rightarrow T\text{-value}(x) = \sum_{a \in A} \tau_a x_a$  wird größer

$\Rightarrow$  Widerspruch zu  $x$  maximal



Fluss entlang  $P_0$  verlässt  $w$  vor  $\pi(w)$

=> (da man bis zum letzten Knoten entlang  $P_0$  schickt)

$$\pi(w) + \tau(P_0') > T = \pi(t) \quad (*)$$

Betrachte Weg  $P_1 +$  Rückwärtskanten zu  $P_0'$  von  $s$  zu  $w$



Dies ist Weg in  $G_x$  mit Länge (Kosten)

$$\pi(t) - \tau(P_0') \stackrel{(*)}{<} \pi(t) + \pi(w) - \pi(t) = \pi(w)$$

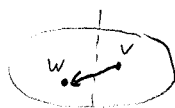
Widerspruch dazu, dass  $\pi(w)$  Länge eines kürzesten Weges bis  $w$  in  $\bar{G}_x$  ist  $\square$

Claim 2:  $\boxed{[\pi(w) - \tau_a, \pi(v)] \neq \emptyset \Rightarrow x_a = 0, f_a(\theta) = 0 \forall \theta}$

Beweis: Falls  $x_a > 0 \Rightarrow$  Kante  $(w, v)$  ist in  $\bar{G}_x$

$$\Rightarrow \pi(v) \leq \pi(w) - \tau_a \quad \text{Widerspruch} \quad \square$$

Claim 2  $\Rightarrow f$  kreuzt keinen Schnitt auf Rückwärtskanten



=> nur auf Vorwärtskanten

$$\Rightarrow (\text{Claim 1}) \quad f_a(\theta) = u_a \quad \forall \theta \in [\pi(v), \pi(w) - \tau_a]$$

$$\Rightarrow \text{value}(f) = \text{cap}(E) \quad \square$$



5.2 SATZ (Ford-Fulkerson 58). (1) Der Algorithmus konstruiert einen optimalen dyn. s,t-Fluss zum Zeithorizont T.

(2) Die Laufzeit wird dominiert durch die Berechnung des statischen min-cost Flusses  $x$

(3) Der optimale dynamische Fluss ist zeitlich wiederholt und kommt ohne Speicherung im Knoten aus

alternativer Beweis für Optimalität über Dualitätstheorie

Min Cost Flow Problem als LP formulieren (P)

Duales formulieren (D)

zeigen, dass  $\text{value}(f) \geq \text{OPT}(P)$

$\text{value}(f) \leq \text{OPT}(D)$

AUFGABE 9

## 5.2 Komplexität von dynamischen Flussproblemen mit konstanten Faktoren $\tau_a$

**The complexity landscape of network flows**

	$s-t$ flow	trans-shipment	min-cost	quickest multi-commodity
static	poly		poly	poly (LP)
over time	poly (static min-cost flow)	poly (minimize submodular functions)	pseudo-poly NP-hard	pseudo-poly (LP) NP-hard

[Ford & Fulkerson 1958]      [Hoppe & Tardos 2000]      [Fleischer & Skutella 2002/03]      [Klinz & Woeginger 1995]      **FPTAS**

Hier nur: 2-Approximierbar für quickest multi-commodity flows

Gegeben: Digraph  $G$  mit Quellen-Senken Paaren  $(s_i, t_i)$  und Demand  $d_i$

Gesucht: beste Zeit  $T$  in der alle Demand durch dynamischen Fluss geroutet werden kann  
(erste Annäherung an Verkehrssituation)

pseudopolynomial lösbar durch Zeitexpansion

Für Approximation betrachte:

statischer Durchschnittsfluss  $\times$  dynamischer Fluss  $f$  mit Horizont  $T$

$$\text{def. durch } x_a := \frac{1}{T} \int_0^T f_a(\theta) d\theta$$

5.3 LEMMA: Der statische Durchschnittsfluss  $x$  zu  $f$  erfüllt Kapazitätsbed. und Flusserschaltung (d.h. ist Fluss).

$$\text{Ferner gilt } \text{value}(x) = \frac{1}{T} \text{value}(f), \quad c(x) = \frac{1}{T} c(f)$$

Beweis:  $f_a(\theta) \leq u_a \quad \forall \theta \quad \Rightarrow$  Kapazitätsbed.

$$\Rightarrow x_a \leq \frac{1}{T} \int_0^T u_a d\theta = u_a$$

Flusserhaltung: Am Ende von  $T$  muss  $f$  die Flusserhaltung mit "=" erfüllen

$$\begin{aligned} \Rightarrow \sum_{a \in \delta^-(v)} \int_{\tau_a}^T f(\theta - \tau_a) d\theta &= \sum_{a \in \delta^+(v)} \underbrace{\int_0^T f_a(\theta) d(\theta)}_{\frac{1}{T} x_a} \\ &= \frac{1}{T} x_a \end{aligned}$$

Flusswert

Analog zu Flusserhaltung

Kosten:

$$c(f) = \sum_{a \in A} \int_0^T f_a(\theta) \cdot c_a \cdot d\theta = \sum_{a \in A} c_a T x_a = T c(x) \quad \square$$

5.4 LEMMA: Der statische Durchschnittsfluss  $x$  zu  $f$  mit Zeithorizont  $T$  ist langengrenzt mit Schranke  $T$ , d.h. es gibt eine Pfadzerlegung für jedes  $s_i t_i$  mit  $\tau_p \leq T$  für alle Pfade in der Zerlegung

Beweis: Nur die Wege bzgl.  $f$ , diese erfüllen  $\tau_p \leq T \quad \square$

Algorithmus zur Konstruktion eines schnellsten Multi-Commodity  
Flusses, der die demands erfüllt, mit Kosten  $\leq c$  ( $c$  Input)

[Fleischer & Skutella 2002]

- (1) Errate den optimalen Zeithorizont  $T^*$  (binäre Suche)
- (2) Berechne einen  $T^*$ -Längenbeschränkten statischen MC-Fluss  
 $(x_p)_{p \in P}$  mit (später, wie)  

$$\text{value}(x) = \frac{1}{T^*} d \quad \text{und} \quad c(x) \leq \frac{1}{T^*} c$$
- (3) Konstruiere aus  $x$  einen dynamischen Fluss  $f$ :  
 indem entlang  $P \in P$  ein zeitlich wiederholtes Fluss mit  
 Raten  $x_p$  im Zeitraum  $[0, T^*[$  losgeschickt wird
- (4) Warte bis aller Fluss in den Senken angekommen ist

5.5 SATZ (Fleischer & Skutella 02)

$f$  ist ein dynamischer Fluss mit Zeithorizont  $\leq 2T^*$ , der  
 alle Demands erfüllt und Kosten  $\leq c$  hat

Beweis: Flusserhaltung, Kapazitätsbed. klar  
 keine Speicherung von Fluss in Knoten

$$\text{value}_i(f) = \sum_{p \in P_i} T^* \cdot x_p = T^* \text{value}_i(x) = d_i \quad \text{für Knotenpaar} \\ (s_i, t_i)$$

$$c(f) = \sum_{p \in P} c_p \cdot T^* x_p = \sum_{p \in P} \left( \sum_{a \in P} c_a \right) T^* \cdot x_p$$



$$= T^* \cdot \sum_{a \in A} c_a \sum_{p \ni a} x_p = T^* \sum_{a \in A} c_a x_a = T^* c(x) \leq c$$

Zeitwert klar, da  $\tau_p \leq T^*$   $\square$

offener Punkt: Konstruktion des  $T^*$ -längen beschränkten MC Flusses  
in Schritt (2) bzw. Feststellung, dass Kern  
existiert (bzgl. der binären Suche nach  $T^*$ )

↗  
Ist schwach NP-vollständig, enthält CSP als Spezialfall

ABER: es gibt ein FPTAS wie für CSP

d.h. Falls es einen  $T$ -längen beschränkten statischen Fluss  $x$   
gibt, so kann man einen  $(T+\epsilon)$ -längen beschränkten  
Fluss  $x'$  konstruieren mit Kosten  $c(x') \leq c(x)$   
in polynomiales Zeit in der Inputgröße und  $\frac{1}{\epsilon}$

Idee: Formuliere das Finden eines  $T$ -längen beschränkten Flusses  $x$   
als LP in Pfad Variablen

$\Rightarrow$  das duale Separierungsproblem ist ein CSP

nutze Äquivalenz von Separierung und Optimierung ADMM

AUFGABE 10

Volles PTAS für das Ausgangsproblem durch

Kondensieren des zeitexpandierten Netzwerkes, d.h. Skalierung

so dass  $T/\Delta$  polynomial ist, Fahrzeiten runden

Löse statisches Flussproblem in kondensierten Graphen (polynomial)

Interpretiere Lösung als dynamischen Fluss mit ursprünglichen

Faktoren

↑

muss "glätten" um Kapazitäten einzuhalten

5.6 SATZ (Fluss & Skutella 03)

Wählt man  $\Delta := \epsilon^2 T / n$ , so erhält man ein kondensiertes

zeitexpandiertes Netzwerk mit  $n/\epsilon^2$  Zeitschritten, das  $(1+\epsilon)$ -approximative

schnellste augmentierbare Fluss mit beschränkten Kosten liefert

Quintessenz: Dynamik kostet Faktor  $|V|/\epsilon^2$  bzgl. Netzwerkgröße

5.3 Dynamische Flussprobleme mit flussabhängigen Fahrzeiten  $\tau_a$ 

Sch. schwierig exakt zu behandeln

In Praxis daher meist Simulation

↑ ausgefeiltes Fahrerverhalten  
sportlich, Sportpiloten, ...

Ein Grund für die Schwierigkeit:

- kein interpolierbarer Graph  $G^T$

↑ basiert auf festen Fahrzeiten

d.h.  $G^T$  würde sich dauernd ändern im dynamischen Fall

in COGA: 2 vereinfachte Modelle

- 1) Einfluss-abhängige Fahrzeiten (Köhler, Langkau, Skutella)
- 2) Last-abhängige Fahrzeiten (Köhler, Skutella)

zu 1)

- $x_a(\theta) :=$  Flussrate zum Zeitpunkt  $\theta$  rein in die Kante  $a$
- Fluss der Kante  $a$  zum Zeitpunkt  $\theta$  beträgt  $x_a(\theta)$
- $\tau_a(x_a(\theta))$  Zeit zum Durchfahren der Kante
- alle diese Flusseinheiten haben die selbe Fahrzeit, die also nur vom Eintrittszeitpunkt  $\theta$  abhängt

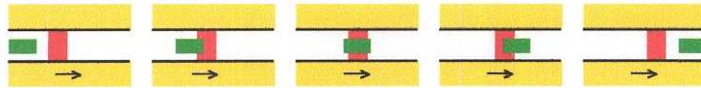
zu 2) •  $y_a(\theta) :=$  Flussmenge auf Kante  $a$  zum Zeitpunkt  $\theta$

- Flusseinheiten auf  $a$  fahren zum Zeitpunkt  $\theta$  mit Geschwindigkeit  $1/\tau_a(y_a(\theta))$

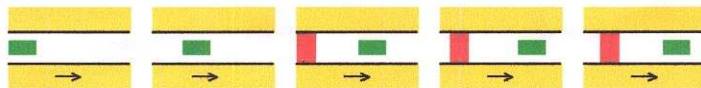
- zu jedem Zeitpunkt  $\theta$  haben alle Flusseinheiten auf  $a$  dieselbe Geschwindigkeit (die ändert sich jedoch mit  $\theta$ )

Beide Modelle haben eine gewisse Praxisferne

Inflow dependent model: does not satisfy **First-In First-Out** property



Load dependent model: **later** arriving flow influences **earlier** flow



ABER: • Man kann sie ihnen optimieren

- Reihen aus der Optimierung zeigen sich in der Simulation  
dann aus der Simulation ermittelten Reihen überlegen  
(laufende Diplomarbeit Terben Edelhoff)

Ergebnisse in der Übersicht:

zu 1) Einfluss-abhängige Fahrzeiten

- schnellste s,t Fluss Problem ist stark NP-schwer
- schnellste s,t Fluss Problem hat einfache  $(2-\epsilon)$ -Approximation  
mit zeitlich wiederholten Flüssen
- ausbaubar zu Approximationschema (FPTAS)  
(alles Dinge mit unidirektionalen Flüssen)

zu 2) Last-abhängiges Modell

- $(2+\epsilon)$ -Approximation mit zeitlich wiederholten Flüssen  
für schnellste  $s, t$ -Fluss Problem
- Problem ist APX-schwer, daher kein Approximationschema  
(außer  $P=NP$ )

Approximationsergebnis zu 1:

Betrachten schnellstes  $s, t$ -Fluss-Problem mit Einfluss-abhängigen Faktoren

A: Schnellstes  $s, t$ -Fluss-Problem mit konstanten Faktoren

Nur lineare Suche bzgl. Zeitintervall  $T$  und löse für jedes  $T$  ein maximales dynamisches  $s, t$ -Fluss-Problem

gemäß § 5.1

Problem: optimales Zeitintervall? muss nicht ganzzahlig sein

$\Rightarrow$  nur  $\epsilon$ -Approximation durch lineare Suche möglich

ABER (Fleischer & Tardos 98):

Alle  $T_a$  und Demand  $d$   $\geq \epsilon$

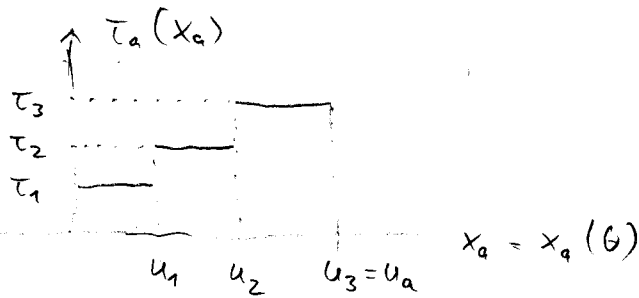
$\Rightarrow$  optimales Zeitintervall ist rationale Zahl  $p/q$

mit  $q \leq$  Wert eines minimalen  $s, t$ -Schittes

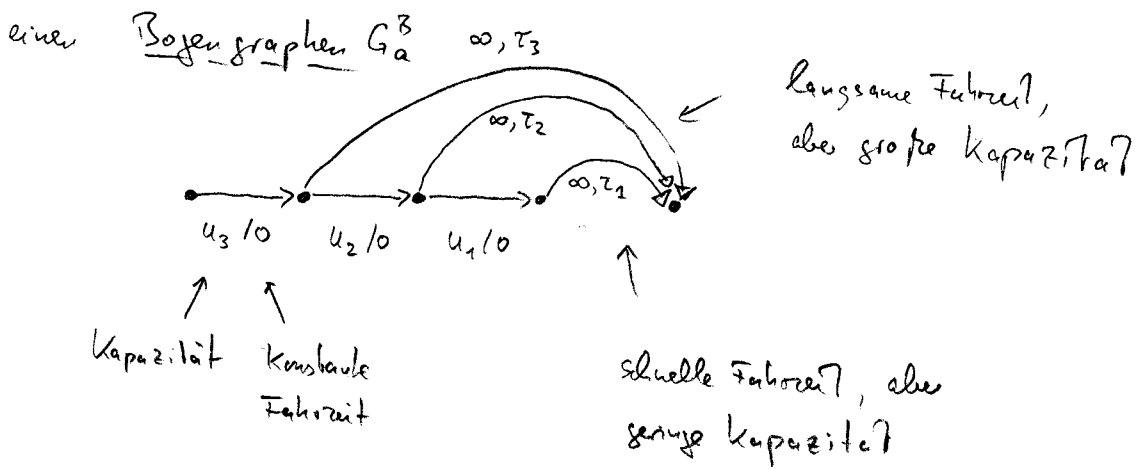
$\Rightarrow$  exakte lineare Suche in polynomieller Zeit möglich

5.7 SATZ: Für das schnellste s,t-Fluss Problem mit konstanten Fahrzeiten existiert ein optimales Fluss, das zeitlich wiederholt ist, und ein solches kann in polynomiale Zeit ermittelt werden

B. Schnellster s,t-Fluss Problem mit stückweise konstanten



1. konstruiere für jede Kante a aus der Funktion  $\tau_a(x_a)$



2. Ersetze jede Kante a durch ihren Bozengraphen und ermittle im resultierenden Graphen  $G^B$  einen schnellsten s,t Fluss  $f^B$  gemäß A

• sieht, da alle Fahrzeiten konstant

• ergibt einen Zeithorizont  $T^B \leq T^{OPT}$

da jeder Fluss in G zulässig in  $G^B$  ist,

(i.A. gibt es aber mehr Fluss in  $G^B$ , da ein Fluss entlang Kante  $a$  in  $G$  geht und mehreren Geschwindigkeiten in  $G_a^B$  reisen kann)

- Kanten in  $G_a^B$  sind von unten nach oben gesättigt  
(sonst lässt sich Fluss nach unten verschieben und die Fahrzeit verbessern)
- $f^B$  ist zeitlich wiederholt in  $G^B$   
(aber i.A. nicht zulässig in  $G$ )

3. Konstruktion eines <sup>in G</sup> zulässigen (zeitlich wiederholten) Flusses aus  $f^B$

$f^B$  wurde aus Max. dyn. s,t-Fluss zum Zeithorizont  $T^B$  gewonnen  
 $\uparrow$   
 letztes  $T$  bzgl.  
 binäre Suche

S.1

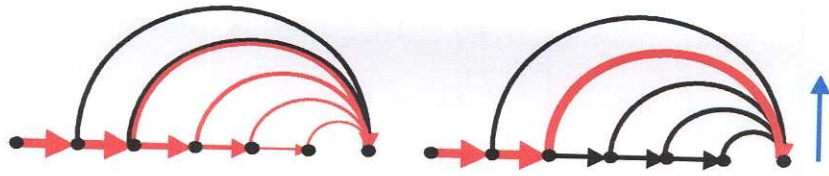
$\Rightarrow f^B$  wurde zeitlich wiederholt aus stationärem Fluss  $x^B$  in  $G^B$  gewonnen

- verorte  $x^B$  so dass es nicht mehrere Bögen in  $G_a^B$  benutzt.

dazu: schiebe allen Fluss in  $G_a^B$  auf den höchsten Fluss-führenden Bogen

der resultierende stationäre Fluss sei  $x$

$\Rightarrow x$  lässt sich als Fluss in  $G$  interpretieren



$x$  ist kleinerweise ein statischer Fluss (Flusseshaltung usw.) in  $G$   
 $x$  nutzt nur Wege, die auch in  $x^B$  genutzt werden  
 $\Rightarrow$  Länge dieser Wege ist  $\leq T^B$

- Nutze diese Wege (in  $G$  interpretiert) zur Konstruktion eines zeitlich wiederholten Flusses  $f$ 
  - sende zeitlich wiederholt entlang der Wegesetzung von  $x$
  - bis zum Zeithorizont  $T'$ , der so gewählt wird, dass bei  $T'$  der Demand  $d$  in  $t$  angekommen ist,

$$\text{also } \text{value}(f) = \underbrace{\sum_{p \in P} x_p \cdot (T' - \tau_p)}_d = d$$

$$= T' \cdot \text{value}(x) - \sum_{a \in A} \tau_a \cdot x_a$$

$T'$  einfach ermittelbar

5.8 SATZ:  $f$  löst das schnellste dynamische  $s, t$ -Flussproblem mit stückweise konstanten Faktoren in einer Zeit

$$T' \leq 2 \cdot T_{\text{OPT}}$$

Beweis: Sei  $\text{value}(T) :=$  Wert von  $f$  bei Zeithorizont  $T$

$$= T \cdot \text{value}(x) - \sum_{a \in A} \tau_a \cdot x_a$$



Es bleibt zu zeigen:  $\text{value}(2T^{\text{OPT}}) \geq d$

$$\text{value}(2T^{\text{OPT}}) \geq \text{value}(2T^{\text{B}}) = 2T^* \cdot \text{value}(x) - \sum_{a \in A} \tau_a \cdot x_a$$

↑  
value(...)  
ist maximal  
in T

↑  
opt. Wert  
von  $f^{\text{B}}$

$$= 2T^{\text{B}} \text{value}(x) - \sum_{P \in \mathcal{P}} \tau_P x_P$$

$$= T^{\text{B}} \text{value}(x) + T^{\text{B}} \sum_{P \in \mathcal{P}} x_P - \sum_{P \in \mathcal{P}} \tau_P x_P$$

$$= T^* \text{value}(x) + \sum_{P \in \mathcal{P}} (T^{\text{B}} - \tau_P) x_P$$

└──────────┘  
 $\geq 0$  da  $\tau_P \leq T^{\text{B}}$

$$\geq T^* \text{value}(x)$$

$$= T^* \text{value}(x^{\text{B}})$$

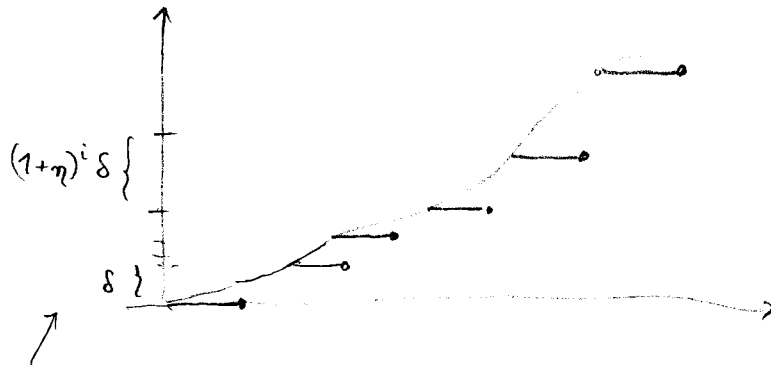
da  $x$  aus  $x^{\text{B}}$  gewonnen  
durch Rounding

$$\geq T^* \text{value}(x^{\text{B}}) - \sum_{a \in A^{\text{B}}} \tau_a \cdot x_a^{\text{B}}$$

$$= \text{value}(f^{\text{B}}) = d \quad \square$$

C. SD Quellstes  $s, t$ -Fluss-Problem mit beliebigen (monoton, linksseitig stetig) Faktorfunktionen

Approximation solcher Faktorfkt. durch stückweise konstante Fkt.  $\tau^*$



wie bei  
Flusskannal  
zahlen

$$\tau^*(x) \leq \tau(x) \leq (1+\eta)\tau^*(x) + \delta \quad \forall x$$

$$\# \text{ konstante Stücke} \leq \left\lceil \log_{1+\eta} \frac{\tau_0(u_0)}{\delta} + 1 \right\rceil$$

↓

$2+\epsilon$  Approximation für beliebiges  $\epsilon > 0$

$(\frac{3}{2} + \epsilon)$  Approximation für konkave Faktorwerte

AUFGABE 10